

Zaman Ölçümü ve Saat

Zaman nedir?

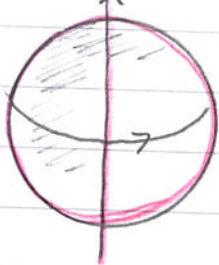
A.Einstein: "Saatin ölçütüğü niceliktir."

Saat zaman ölçer mi?

Saat sadece periyodik hareket yapan bir sistemin salınımlarını sayar.
Doğru sayma için sistemin periyodunun değişmemesi gereklidir.

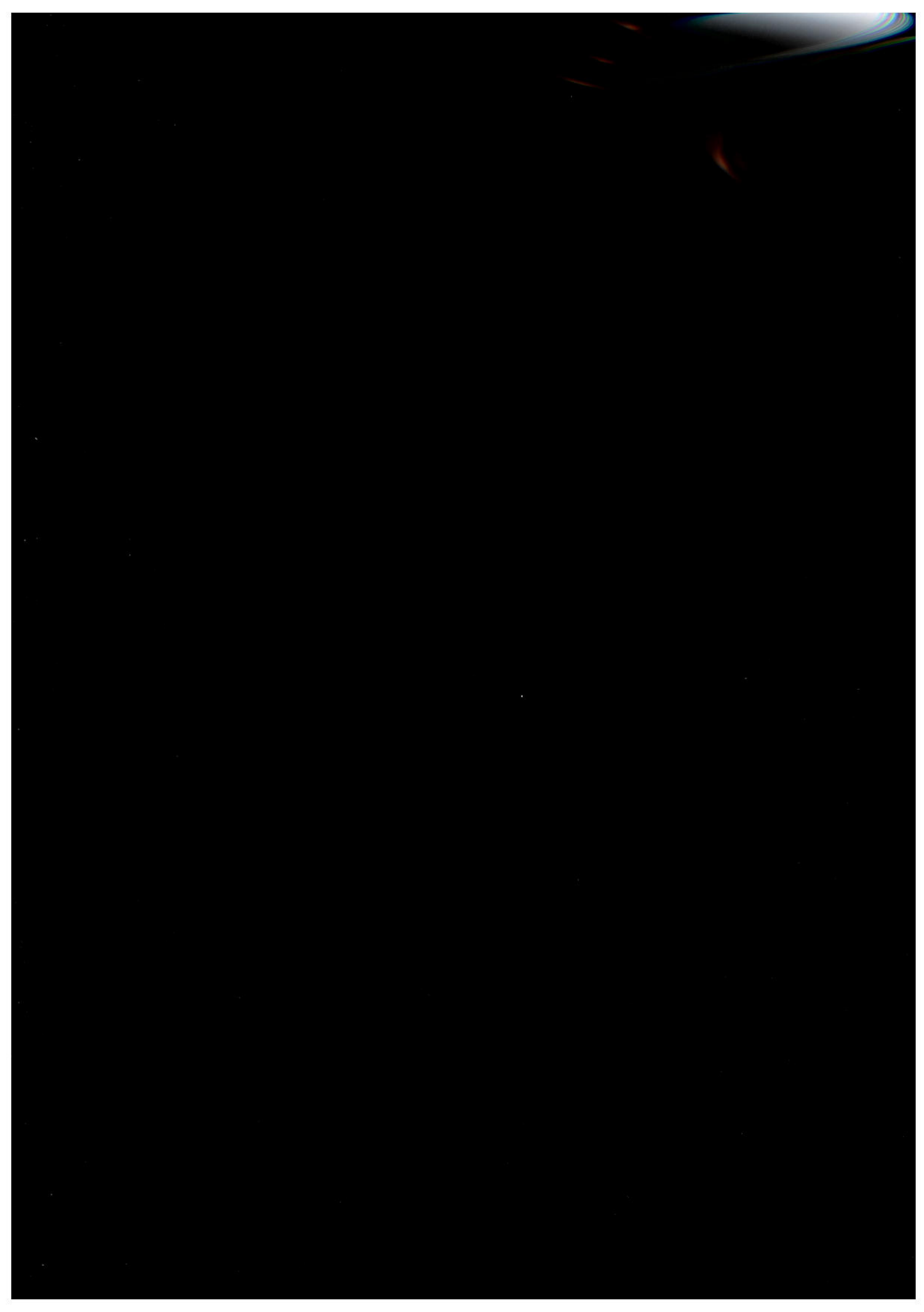
Tarihsel bakıldığından doğa koşulları nedeniyle değişmeyen periyoda sahip makroskopik bir sistem bulunamamıştır.

Örnek: Dünyanın eksenin etrafında günlük periyodu saat tasarıminda uzun süre kullanılmıştır



$$1 \text{ saniye} = \frac{1 \text{ gün}}{86400} \quad (1905 \text{ yılı}\text{ günü})$$

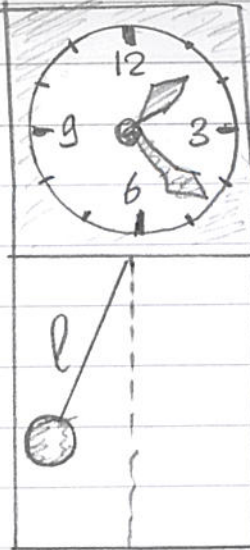
Ancak dünyanın günlük periyodu
gesittili nedenlerle sabit degildir.
Uzun süre içinde hata birikimi artar.



Örnek: Sarıagli Saatler

$$periyot = 2\pi \sqrt{\frac{r}{g}}$$

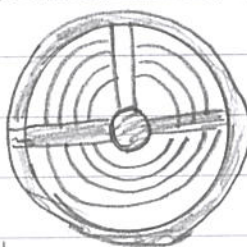
Yerçekimi ivmesi g yüksekliğe ve coğrafik konuma bağlıdır.



Örnek: Yayılı saatler

Sıcaklık ve nem yayları etkiler

Saatlerin önemli kullanım alanlarından biri gemcilikte ve havacılıkta taşıtların konumlarının belirlenmesidir.



EK: John Harrison gemilerde boylam bulmada kullanılmak amacıyla yaptığı H4 adını verdiği saatle İngiliz hükümetinden 20 000 £ ödül kazanmıştır (1764).

Zaman Ölгümünü Etkileyen Fizik İlkeleri

Özel görelilik

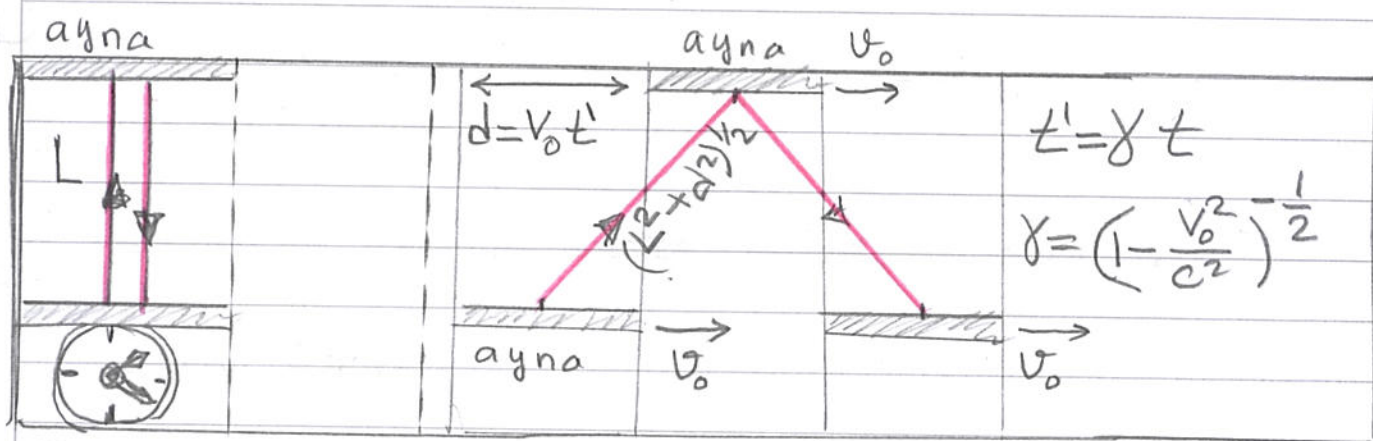
Genel görelilik (Relativistik kütle çekimi)

İşik hızı, özel Görelilik

Doğa koşullarından bağımsız olarak zaman ölçümündeki önemli etkilerin ışık hızının sabitligidir.

“ $v = c$ ” İşik hızı boşlukta tüm gözlem çerçevelerinde aynıdır”

Bu ilke farklı gözlem çerçevelerinde zamanın farklı olduğu sonucunu doğurur. Yani, hareketli saatler daha yavaş gelişir.



$$t' > t$$

Budurum zaman ve saat kavramına farklı bakış açısı getirmiştir.

Örnek: CERN deneylerinde muon ömrü: muonun durgun sisteminde ömrü

$$\Delta t_0 = 2.2 \times 10^{-6} \text{ s} = 2.2 \mu\text{s}$$

Lab. sisteminde bakıldığından muon ömrü:

$$\Delta t = 60 \mu\text{s} \approx 29 \times \Delta t_0$$

$$\frac{v_0}{c} = 0,9994$$

$$\gamma = 29,3$$

$$\Delta t = \gamma \Delta t_0 = 60 \mu\text{s}$$

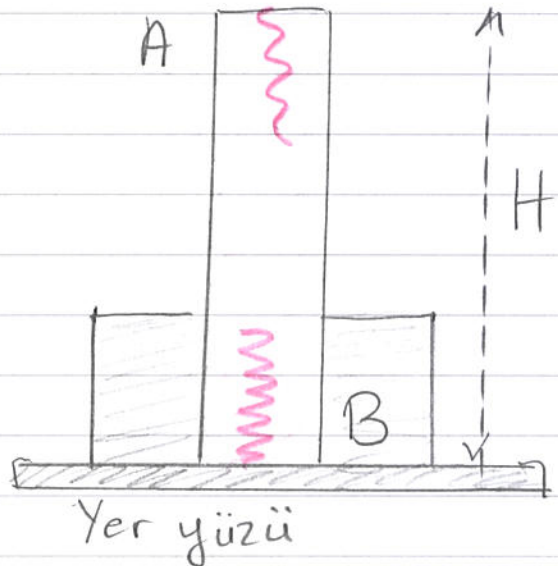
Genel Görelilik ve Zaman

Kütle çekimsel, kırmızıya(maviye) kayma
(Gravitational redshift)

İşik hızının sabitliği kütle çekiminin farklı olduğu noktalarda ışığın dalga boyunun (veya frekans) değiştigini de ifade etmektedir.

$$f_B \approx \left(1 + \frac{gH}{c^2}\right) f_A$$

$$\Delta t_B \approx \left(1 - \frac{gH}{c^2}\right) \Delta t_A$$



Farklı yükseklikte saatler farklı hızlarla çalışır.

($\Delta t_A, \Delta t_B$: approximately proper times)

Kütle çekiminin arttığı noktalarda saat yavaşlar.

Bir başka ifadeyle, foton kütle çekiminden etkilenir.

EK. $E = 14,4 \text{ keV}$ energili foton

30 metre yükseklikteki bir binanın
tepesinden binanın zemini doğru
gönderilsin.

$$E_A = h\nu = h\nu_A \quad \nu_A = \frac{E_A}{h} = 3,475 \times 10^{18} \text{ Hz}$$

Foton zemine ulaştığında

$$\nu_B \approx \nu_A \left(1 + \frac{gH}{c^2}\right) = \nu_A + \Delta\nu = \nu_A + 1,16 \times 10^4 \text{ Hz}$$

$$\nu_B - \nu_A = 1,16 \times 10^4 \text{ Hz} \quad \text{maviye kaymıştır.}$$

Saatler haberleşme dışında, hareketli sistemlerin konumlarının belirlenmesinde ve bilimsel deneylerde kullanıldığından zaman ölçümüne hatalı ve çok duyarlı olmalıdır.

Gevre koşullardan etkilenmeyen sayılar atomlarla gerçekleştirilirse evrenin her yerinde kullanılabilir.

Atom saatlerinde kullanılan atomlar ortamın sıcaklığından dolayı ortalama 300 m/s hızlığında (oda sıcaklığında gaz) hızlara sahiptir.

Atomlarda sayma işlemi iki enerji düzeyi arasındaki ω frekanslı foton salınması ile gerçekleştirilir.

$$\text{E}_2 - \text{E}_1 = \hbar\omega$$

Atomlardan salınan fotonların frekansında Doppler kayması nedeniyle

$$\Delta f \approx \frac{\nu}{c} \quad \text{kadar belirsizlik oluşur}$$

Ayrıca özel görelilikten gelen bir diğer belirsizlik ise

$$\Delta f \approx \frac{\nu^2}{c^2}$$

$$\Delta t' = \gamma \Delta t = \frac{\Delta t}{\left(1 - \frac{v^2}{c^2}\right)^{1/2}}$$

olarak ortaya çıkar.

Atomların hızlarından gelen sayma belirsizliğini azaltmanın yolu soğutma ile başarılır.

\$ 100 quartz saat $\left(\frac{30 \text{ saniye}}{1 \text{ yıl}}\right)$ hata yapar

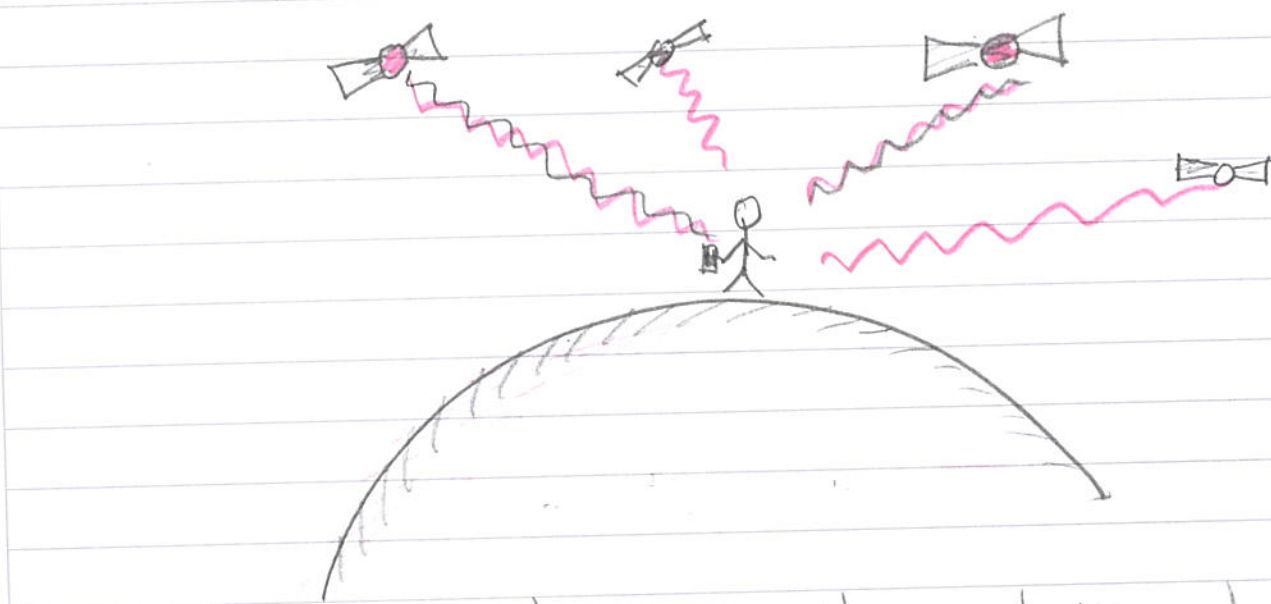
\$ 100 000 atom saat $\left(\frac{30 \text{ saniye}}{10^7 \text{ yıl}}\right)$ hata yapar

24 tane GPS uydusunun her birinde atom saatleri bulunmaktadır.

Laser soğutma (10^{6-8} K) ile gereklestirilen

atom saatlerinde hem özel hem de genel görelilik ilkeleri kullanılarak sürekli düzeltme yapılmaktadır.

Genel görelilik düzeltmesi yapılmayan GPS sisteminin konum belirleme hatası bir kaçı metre yerine km düzeyine ulaşır.



Dünya yüzeyinde GPS ile doğru konum belirlenmesi için en az 4 uydu gereklidir.

Olasılık Akışı, AKI Korunumu AKI Kuantumlanması

$$J = \psi^* \psi \quad : \text{olasılık yoğunluğu}$$

$$\frac{\partial J}{\partial t} = \frac{\partial \psi^*}{\partial t} \psi + \psi^* \frac{\partial \psi}{\partial t}$$

$$\frac{\partial \psi}{\partial t} = \frac{1}{i\hbar} H \psi$$

$$\frac{\partial \psi^*}{\partial t} = \left(\frac{H \psi}{i\hbar} \right)^*$$

$$H = -\frac{\hbar^2}{2m} \frac{\partial^2}{\partial x^2} + V(x) = \frac{p^2}{2m} + V(x)$$

$$\vec{p} = -i\hbar \vec{\nabla}$$

$$p_x = -i\hbar \frac{\partial}{\partial x}$$

$$\frac{\partial J}{\partial t} = \frac{-\hbar}{2mi} \left[\psi^* \frac{\partial^2 \psi}{\partial x^2} - \left(\frac{\partial^2 \psi^*}{\partial x^2} \right) \psi \right]$$

asagıdaki eşitlikler kullanılırsa

$$\frac{\partial}{\partial x} \left(\psi^* \frac{\partial \psi}{\partial x} \right) - \frac{\partial \psi^*}{\partial x} \frac{\partial \psi}{\partial x} = \psi^* \frac{\partial^2 \psi}{\partial x^2}$$

$$\frac{\partial}{\partial x} \left(\frac{\partial \psi^*}{\partial x} \psi \right) - \frac{\partial \psi^*}{\partial x} \frac{\partial \psi}{\partial x} = \frac{\partial^2 \psi^*}{\partial x^2} \psi$$

$$\frac{\partial J}{\partial t} = -\frac{\hbar}{2mi} \frac{\partial}{\partial x} \left[\psi^* \frac{\partial \psi}{\partial x} - \frac{\partial \psi^*}{\partial x} \psi \right]$$

$V^* = V$ ise katları gelmez.

$$J = \frac{\hbar}{2mi} \left[\psi^* \frac{\partial \psi}{\partial x} - \frac{\partial \psi^*}{\partial x} \psi \right]$$

glasilik
akisi

$$\frac{\partial J}{\partial t} = - \frac{\partial J}{\partial x} \quad \text{Süreklik denklemi}$$

$$\frac{\partial J}{\partial t} = - \vec{\nabla} \cdot \vec{J} \quad \text{3-Boyutta}$$

Akı momentum cinsinden yazılabilir.

$$\vec{J} = \frac{1}{2m} \left[\psi^* \vec{p} \psi + (\vec{p} \psi)^* \psi \right]$$

$$\begin{aligned} \vec{p} &= -i\hbar \vec{\nabla} \\ &= \frac{\hbar}{i} \vec{\nabla} \end{aligned}$$

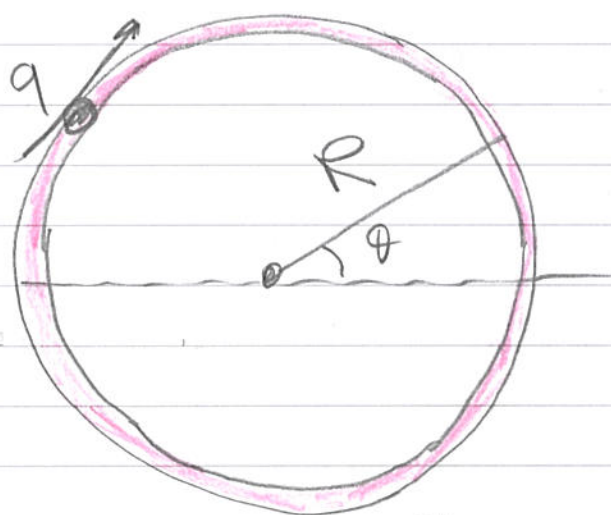
R Yarıçaplı Fember üzerinde
Hareket

$$H\Psi = E\Psi \quad (2B)$$

$$\frac{P_\theta^2}{2m} \Psi = E\Psi$$

$$P_\theta = \frac{\hbar}{i} \frac{1}{R} \frac{\partial}{\partial \theta} \quad R = sb$$

$$-\frac{\hbar^2}{2mR^2} \frac{\partial^2}{\partial \theta^2} \Psi = E\Psi$$



$$\Psi = \frac{1}{\sqrt{2\pi R}} e^{\frac{iL}{\hbar}\theta}$$

Peryodik sınır koşulu ile $\Psi(\theta + 2\pi) = \Psi(\theta)$

$$2\pi \frac{iL}{\hbar}$$

$e^{2\pi i L/\hbar} = 1$ olmalı, yani $L = n\hbar$
 $n = 0, 1, 2, \dots$

$$L = n\hbar$$

Açışal momentumun kuantumlanması

Enerji

$$L^2 = 2mR^2 E$$

$$\frac{\partial^2 \Psi}{\partial \theta^2} = -\frac{L^2}{\hbar^2} \Psi$$

$$E = \frac{\hbar^2 n^2}{2mR^2}$$

Kuantumlu
enerji

Parsacığın olasılık akışı

$$J_\theta = \frac{\hbar}{2mi} [\Psi^* P_\theta \Psi + (P_\theta \Psi)^* \Psi]$$

$$P_\theta = -i\hbar \frac{\partial}{R \partial \theta}$$

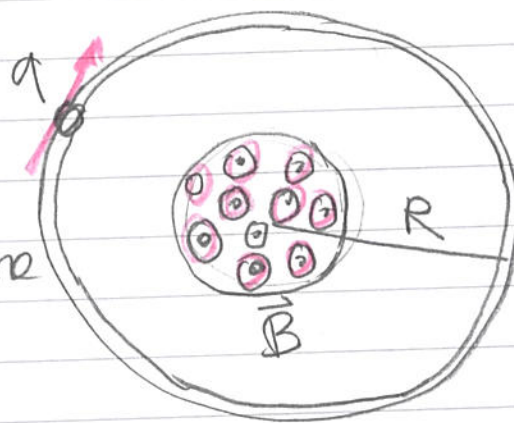
$$J_\theta = \frac{L}{2\pi m R^2} = \frac{\hbar n}{2m\pi R^2}$$

kuantumlu olasılık
akışı

Gembersel Harekete Manyetik Etkisi

Akı Etkisi

$r < R$ yarısaplı
bölgede gember düzlemine
dik $\vec{B} = sb$ manyetik
alan uygulansın.



Bu durumda manyetik alanın etkisi Schrödinger denklemine etkisi manyetik akı $\Phi = \int \vec{B} \cdot d\vec{a} = \pi r^2 B$ vasıtasyyla yazılabilir.

$$H = \frac{1}{2m} \left[p_\theta - \frac{q\Phi}{2\pi R} \right]^2$$

$$H = \frac{1}{2m} \left[-i\hbar \frac{1}{R} \frac{\partial}{\partial \theta} - \frac{q\Phi}{2\pi R} \right]^2$$

$R = sb$ olduğundan $\frac{q\Phi}{2\pi R} = sb$ olur.

$B = 0$ iken bulunan çözüm $\psi = \frac{1}{\sqrt{2\pi R}} e^{i\frac{L}{\hbar}\theta}$

tekrar önerilir ve denklemde yerine konursa

$$E = \frac{1}{2mR^2} \left[L - \frac{q\Phi}{2\pi} \right]^2$$

elde edilir.

$$L = n\hbar$$

Manyetik akının etkisi enerjide görünür.

Her bir enerji düzeyi manyetik akı Φ ile orantılı olarak kaymıştır.

Olasılık Akısı:

$$J_\theta = \frac{1}{2m} \left[\Psi^* \left(P_\theta - \frac{q\Phi}{2\pi R} \right) \Psi + \left\{ \left(P_\theta - \frac{q\Phi}{2\pi R} \right) \Psi \right\}^* \Psi \right]$$

$$P_\theta = -i\hbar \frac{1}{R} \frac{\partial}{\partial \theta}$$

$$J_\theta = \frac{1}{2\pi m R^2} \left[n\hbar - \frac{q\Phi}{2\pi} \right]$$

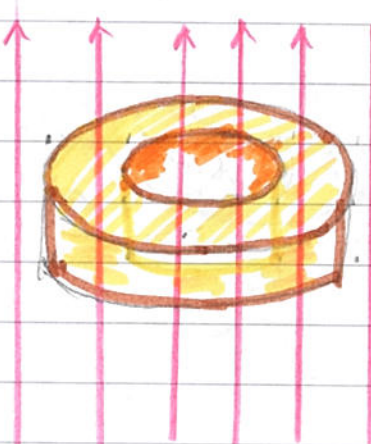
Olasılık akısı manyetik akıdan etkilenmiştir

Süperiletken Halka Deneyi

Manyetik Açı Kuantumlaması

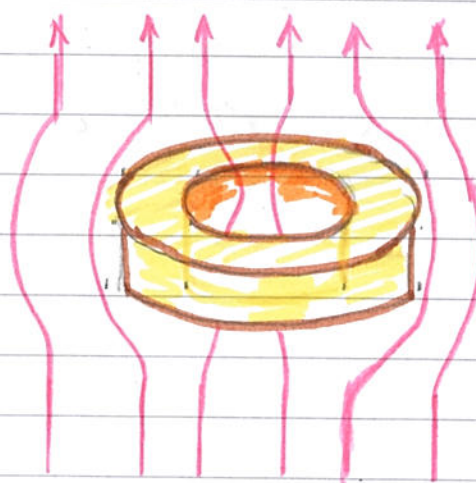
(Meissner etkisi)

$$\vec{B}_{\text{dis}} \neq 0$$

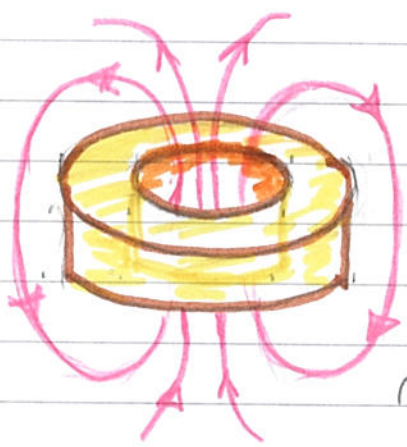


$$T > T_c$$

$$\vec{B}_{\text{dis}} \neq 0$$



$$T \leq T_c$$

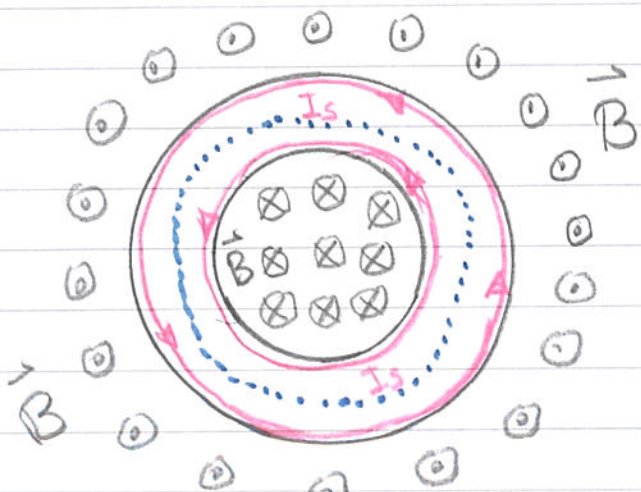


$$\vec{B}_{\text{dis}} = 0$$

$$T \leq T_c$$

Süperiletken halka üzerine uygulanan dış manyetik alan süperiletken fazına gestikte sonra kaldırılıyor. Ancak süperiletken fazda dış manyetik alan olmadığı halde manyetik akının bir kısmı hapis kalıyor.

Bu olayın nedeni halkanın dış ve iç yüzeylerinde oluşan süperakımlar dış manyetik alan kalktığı halde devam etmektedir. Farklı direnç sıfırdır. Halka süperiletken fazda kaldığı sürece süperakım devam eder.



$$T \leq T_c$$

Orta bölgedeki noktalı halka üzerinde akım (akı) sıfırdır.

$$j_0 = 0 = \frac{1}{2m\pi R^2} \left[n\hbar - \frac{q\Phi}{2\pi} \right] \quad n=0,1,2$$

Bu durumda $\Phi = \left(\frac{2\pi\hbar}{q} \right) n = \Phi_0 n$

Φ_0 = Temel akı quantumu

Deney: Fairbank-Deaver, 1961

Deneyde $q=2e$ olarak gözlenmiştir.

Daha sonra BCS modeline göre $T < T_c$ süperiletken durumda elektronların çift olarak bozor gibi davranışındaki teorik olarak gösterilmiştir.

Bardeen-Cooper-Schrieffer NOBEL-1972